

#### Committente:



Direzione Sport

Assessorato bilancio, lavori pubblici, opere strategiche infrastrutturali, rapporti con i municipi

#### Titolo:

Progetto di fattibilità tecnico-economica di sistemazione del Rio Villa Castagna

Oggetto:

Relazione geotecnica

Gruppo di lavoro

Ing. P. Misurale Ing. M. Ivaldi Ing. E. Misurale Ing. A. Porri Geom. F. Sciurti

Livello di progetto: PFTE Nome File: P105-23-F-RE-GEO-002-B

Codice progetto: P105-23 Elaborato nº: GEO-002

# Firme:



Rev:	Modifiche / Revisioni	Data	Redatto	Controllato	Approvato
Α	PRIMA EMISSIONE	07/09/2023	EMI	MIV	PMI
В	RICHIESTA INTEGRAZIONI DELLA REGIONE LIGURIA	28/09/2023	EMI	MIV	PMI



19038 SARZANA (SP) - Via B.P.U. Muccini, 54A - T. +39 0187 610532 16129 GENOVA (GE) - Via Antonio Cecchi, 7/9-10 - T. +39 010 5959690 P. Iva 01236860118 - N.CCIAA 01236860118 - REA CCIA SP112013 Cap. Soc. € 100.000 i.v. - info@itec-engineering.it









# **INDICE**

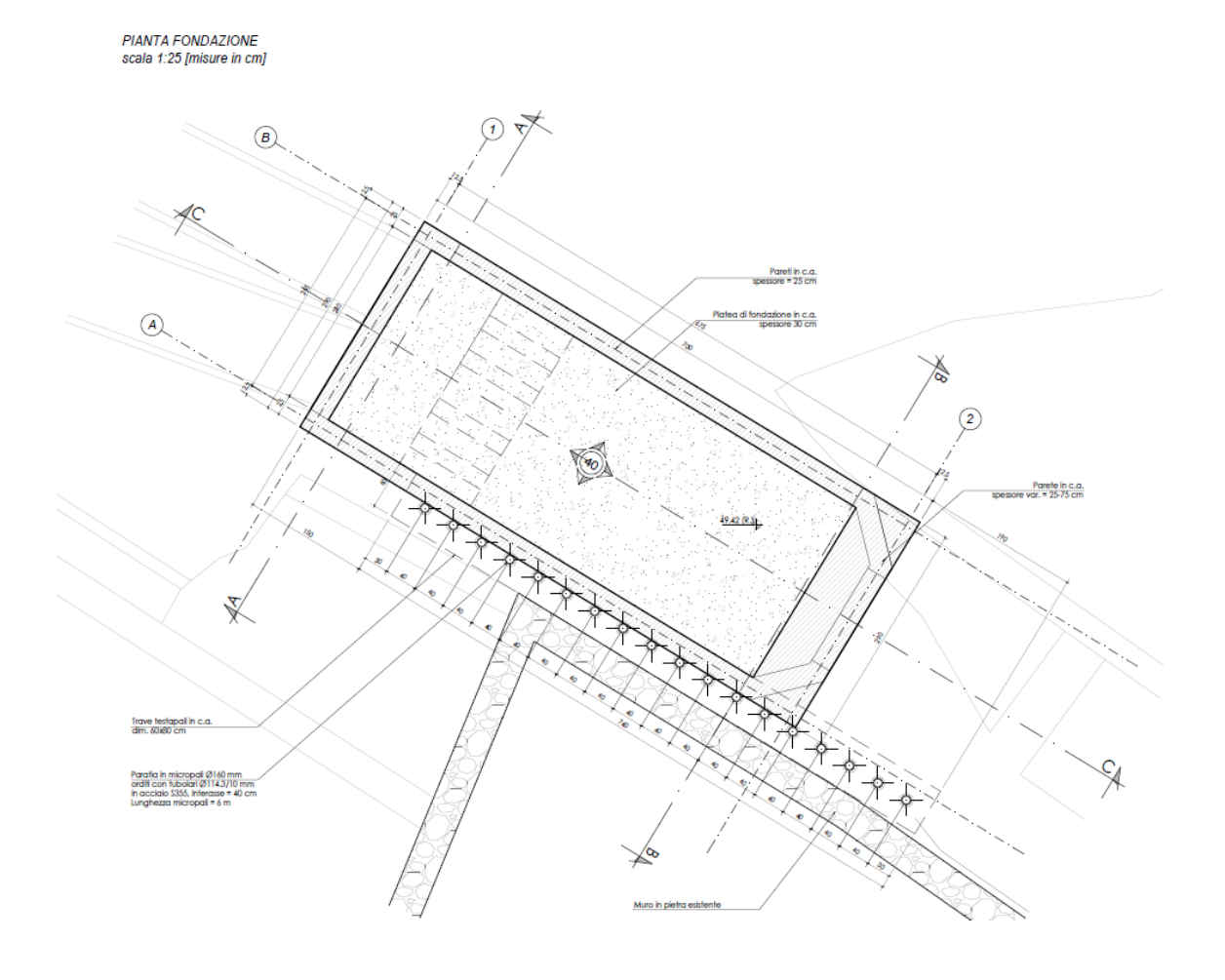
1	PREMESSA	1
2	NORMATIVE TECNICHE DI RIFERIMENTO	4
3	UNITÀ DI MISURA	4
4	COMBINAZIONI DI CARICO	5
5	PARAMETRI SISMICI	6
6	PARAMETRI GEOTECNICI	11
7	ANALISI DEI CARICHI	12
8	VERIFICHE GEOTECNICHE DELLA STRUTTURA DELLA VASCA	13
9	VERIFICHE GEOTECNICHE DELLA PARATIA IN MICROPALI PROVVISIONALE	23



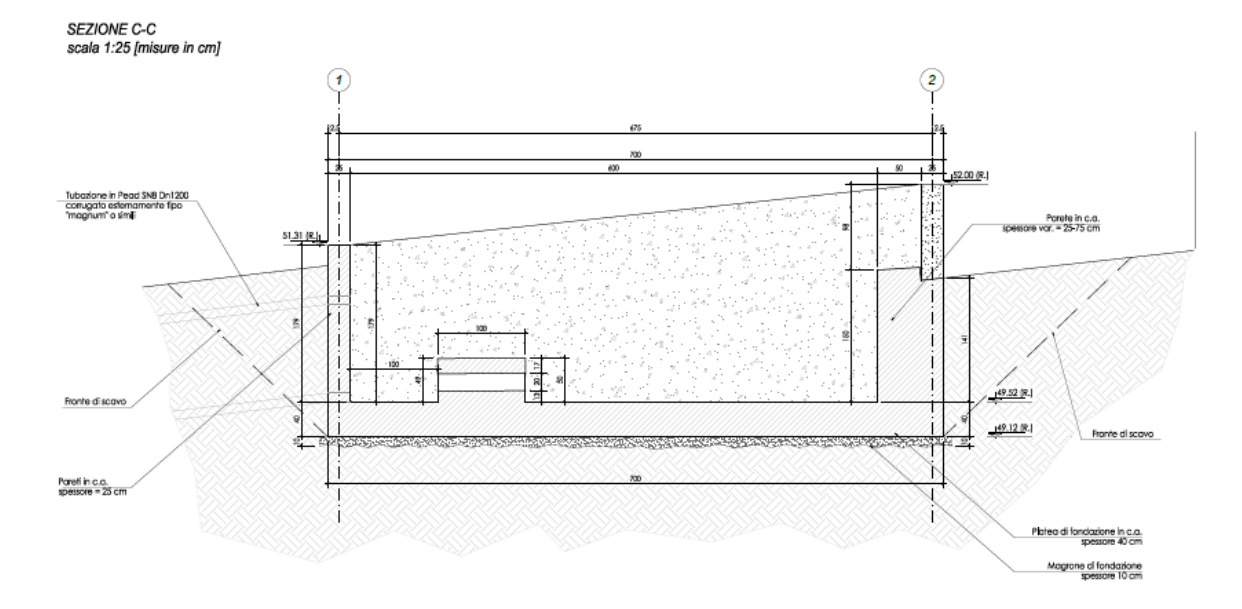
#### 1 PREMESSA

La presente relazione ha come oggetto le verifiche geotecniche delle strutture in calcestruzzo armato costituenti il nuovo pozzetto ripartitore da realizzare all'interno dei lavori di sistemazione idraulica del Rio Villa Castagna, tra via Inferiore Fameiano e Via G. Adamoli, a monte del complesso sportivo della Sciorba nel comune di Genova.

Si riportano di seguito una pianta e una sezione rappresentanti l'opera oggetto di intervento.







La vasca di sedimentazione e di ripartizione delle portate presenterà dimensioni massime in pianta pari a 7m di lunghezza per 2.9 m di larghezza e una profondità massima pari a 2.7 m, compreso lo spessore della platea di fondazione. Gli elementi strutturali principali del nuovo pozzetto presenteranno i seguenti spessori:

Platea di fondazione = 40 cm Pareti laterali = 25 cm

Vista l'immediata vicinanza della porzione sud della nuova vasca ad un muro di confine esistente in pietra, preliminarmente alle fasi di scavo ed esecuzione della nuova struttura in c.a., verrà realizzata una paratia provvisionale in micropali in corrispondenza della base di suddetto muro al fine di evitare cedimenti differenziali del terreno retrostante durante le fasi esecutive.

Le verifiche geotecniche sono state condotte nel rispetto delle Vigenti Norme tecniche del 17 gennaio 2018 e di normative di comprovata validità che forniscono sistematico supporto applicativo (Eurocodici con le relative Appendici Nazionali) delle succitate norme tecniche.

Trattandosi di una progettazione per una nuova vasca interrata è stata considerata una Vita Nominale di 50 anni corrispondente a tipi di costruzioni quali: "Costruzioni con livelli di prestazioni ordinari" ed una classe d'uso II: "Costruzioni il cui uso preveda normali affollamenti" così come riportato rispettivamente al paragrafo 2.4.1 in tabella 2.4.1 e al paragrafo 2.4.2 delle vigenti Norme tecniche delle costruzioni.



Per quanto riguarda la caratterizzazione sismica del territorio si è fatto riferimento alla relazione geologica redatta dal Dott. Geol. Luca Sivori in data settembre 2023, nella quale viene indicata una categoria di sottosuolo B e una categoria topografica T2.

Come si può invece notare dalla classificazione sismica della Regione Liguria, definita dal D.G.R n°. 216 del 17.03.2017 e successivi aggiornamenti, il comune di Genova ricade in Zona sismica 3.

Anche le caratteristiche del terreno circostante la vasca sono state desunte dalla relazione geologica a firma del Dott. Geol. Luca Sivori, datata settembre 2023.



#### 2 NORMATIVE TECNICHE DI RIFERIMENTO

Di seguito si riportano le Norme di calcolo utilizzate nell'analisi e verifica della struttura in oggetto

# Norme di calcolo per le azioni sulle strutture

D.M. 17 gennaio 2018 – Norme Tecniche per le Costruzioni Circolare 21 gennaio 2019, n. 7 / C.S.LL.PP Eurocodice 1 - UNI EN 1991-1-1 – Azioni in generale

# Norme di calcolo per le opere in calcestruzzo armato

D.M. 17 gennaio 2018 - Norme Tecniche per le Costruzioni Circolare 21 gennaio 2019, n. 7 / C.S.LL.PP Eurocodice 2 - UNI ENV 1992-1-1 - Progetto delle strutture in C.A.

# Norme di calcolo per le opere geotecniche

D.M. 17 gennaio 2018 - Norme Tecniche per le Costruzioni Circolare 21 gennaio 2019, n. 7 / C.S.LL.PP Eurocodice 7 - UNI ENV 1997-1 - Progettazione geotecnica

# Norme di calcolo per le costruzioni in zona sismica

D.M. 17 gennaio 2018 - Norme Tecniche per le Costruzioni Circolare 21 gennaio 2019, n. 7 / C.S.LL.PP

# 3 UNITÀ DI MISURA

Il sistema adottato nel progetto di seguito riportato è il Sistema Internazionale (SI):

Forze e carichi:  $kN / kN/m KPa = kN/m^2$ 

Massa volumica o densità di massa: kg/m³
Peso specifico: kN/m³

Tensioni, resistenze e pressioni:  $N/mm^2 = MPa = MN/m^2$ 

Momenti di una forza: kNm



#### 4 COMBINAZIONI DI CARICO

Le combinazioni dei carichi sono conformi con quanto prescritto nel D.M. del 17 Gennaio 2018.

# Generalità sul metodo dei coefficienti parziali

Quando si impiega il metodo dei coefficienti parziali, si deve verificare che, in tutte le situazioni di progetto significative, non venga superato nessuno stato limite significativo quando si impiegano nei modelli di progetto valori di progetto delle azioni o degli effetti delle azioni e delle resistenze.

Per le situazioni di progetto selezionate e per gli stati limite significativi, le singole azioni per i casi di carico critici dovrebbero essere combinati come indicato in dettaglio in seguito. Tuttavia, le azioni che non possono verificarsi simultaneamente, per esempio per ragioni fisiche, non dovrebbero essere considerate combinate tra loro.

#### Stati limite ultimi

I sequenti stati limite ultimi devono essere verificati quando significativi:

- EQU Perdita di equilibrio statico della struttura o di qualsiasi parte di essa considerata come corpo rigido.
- STR Collasso interno o deformazione eccessiva della struttura o degli elementi strutturali, incluse le fondazioni, i pali, i muri di contenimento, ecc. quando è determinante la resistenza dei materiali da costruzione della struttura.
- GEO Collasso o deformazione eccessiva del terreno quando le resistenze del terreno o della roccia sono significative nel fornire la resistenza.



#### Stati limite di esercizio

Le combinazioni di azioni per gli stati limite di esercizio sono definite simbolicamente dalle seguenti espressioni:

#### Combinazione Caratteristica

generalmente adottata per gli stati limite irreversibili

$$\boldsymbol{E}_{d} = \sum_{i \geq 1} \boldsymbol{G}_{k,j} + \boldsymbol{P} + \boldsymbol{Q}_{k,1} + \sum_{i > 1} \boldsymbol{\psi}_{0,i} \cdot \boldsymbol{Q}_{k,i}$$

# • Combinazione Frequente

generalmente adottata per gli stati limite reversibili

$$E_{d} = \sum_{j \geq 1} G_{k,j} + P + \psi_{1,1} \cdot Q_{k,1} + \sum_{i > 1} \psi_{2,i} \cdot Q_{k,i}$$

# Combinazione Quasi permanente

generalmente adottata per gli effetti a lungo termine e per l'aspetto della struttura

$$\boldsymbol{E}_{d} = \sum_{i \geq 1} \boldsymbol{G}_{k,j} + \boldsymbol{P} + \sum_{i \geq 1} \boldsymbol{\psi}_{2,i} \cdot \boldsymbol{Q}_{k,i}$$

#### 5 PARAMETRI SISMICI

Per i parametri sismici da adottarsi a progetto si è fatto riferimento alla relazione geologica a firma del Dott. Geol. Luca Sivori in data settembre 2023, nella quale viene indicata una categoria di sottosuolo B e una categoria topografica T2.

Di seguito si riporta la definizione dell'azione sismica per lo Stato Limite di Salvaguardia del Vita (SLV) considerando i seguenti parametri:

Latitudine: 44,44352

Longitudine: 8,96862

fattore di struttura: q=1

Vita Nominale = 50 anni

Classe d'uso = II da cui si ottiene un coefficiente d'uso CU = 1

Coefficiente di amplificazione stratigrafica  $S_S = 1.2$ 

Coefficiente di amplificazione topografica  $S_T = 1$ 

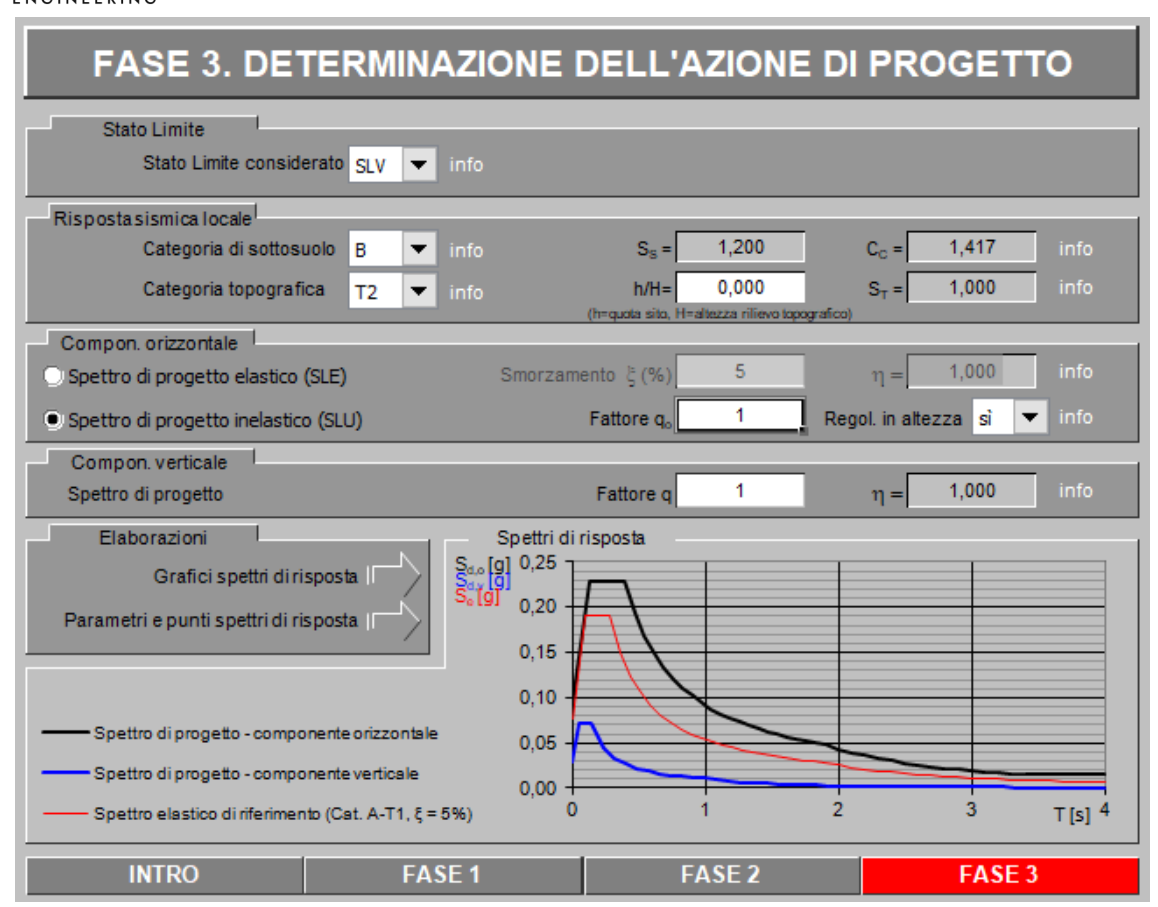














# Parametri e punti dello spettro di risposta orizzontale per lo stato limite: SLV

#### Parametri indipendenti

STATO LIMITE	SLV
a <sub>n</sub>	0,076 <b>]</b> g
F <sub>o</sub>	2,524
T <sub>C</sub> *	0,282 s
Ss	1,200
Cc	1,417
ST	1,000
q	1,000

#### Parametri dipendenti

S	1,200
η	1,000
T <sub>B</sub>	0,133 s
Tc	0,400 s
T <sub>D</sub>	1,903 s

#### Espressioni dei parametri dipendenti

$$S = S_S \cdot S_T$$
 (NTC-08 Eq. 3.2.5)

$$\eta = \sqrt{10/(5+\xi)} \geq 0,55; \ \eta = 1/q \qquad \text{(NTC-08 Eq. 3.2.6; $. 3.2.3.5)}$$

$$T_{\rm R} = T_{\rm C}/3$$
 (NTC-07 Eq. 3.2.8)

$$T_{c} = C_{c} \cdot T_{c}^{*}$$
 (NTC-07 Eq. 3.2.7)

$$T_D = 4,0 \cdot a_g/g + 1,6$$
 (NTC-07Eq. 3.2.9)

# Espressioni dello spettro di risposta (NTC-08Eq. 3.2.4)

$$\begin{split} 0 \leq T < T_{_{B}} & \left[ \begin{array}{c} S_{e}(T) \!=\! a_{g} \cdot S \cdot \eta \cdot F_{o} \cdot \left[ \frac{T}{T_{B}} + \frac{1}{\eta \cdot F_{o}} \! \left( 1 \!-\! \frac{T}{T_{B}} \right) \right] \\ T_{D} \leq T < T_{C} & \left[ \begin{array}{c} S_{e}(T) \!=\! a_{g} \cdot S \cdot \eta \cdot F_{o} \\ \end{array} \right] \\ T_{C} \leq T < T_{D} & \left[ \begin{array}{c} S_{e}(T) = a_{g} \cdot S \cdot \eta \cdot F_{o} \cdot \left( \frac{T_{C}}{T} \right) \\ \end{array} \right] \\ T_{D} \leq T & \left[ \begin{array}{c} S_{e}(T) = a_{g} \cdot S \cdot \eta \cdot F_{o} \cdot \left( \frac{T_{C}}{T} \right) \\ \end{array} \right] \end{split}$$

Lo spettro di progetto  $S_a(T)$  per le verifiche agli Stati Limite Ultimi è ottenuto dalle espressioni dello spettro elastico  $S_a(T)$  sostituendo  $\eta$  con 1/q, dove q è il fattore di struttura. (NTC-08 § 3.2.3.5)

# Punti dello spettro di risposta

	T [s]	Se [g]
	0,000	0,091
Tв◀	0,133	0,031
Tc◀	0,400	0,229
.04	0,471	0,195
	0,543	0,169
	0,615	0,149
	0,686	0,134
	0,758	0,121
	0,829	0,111
	0,901	0,102
	0,973	0,094
	1,044	0,088
	1,116	0,082
	1,187	0,077
	1,259	0,073
	1,330	0,069
	1,402	0,065
	1,474	0,062
	1,545	0,059
	1,617	0,057
	1,688	0,054
	1,760	0,052
_	1,831	0,050
Tp◀	1,903	0,048
	2,003	0,044
	2,103	0,039
	2,203	0,036
	2,302	0,033
	2,402	0,030
	2,502	0,028
	2,602	0,026
	2,702	0,024
	2,802	0,022
	2,902	0,021
	3,001 3,101	0,019 0,018
	3,201 3,301	0,017 0,016
	3,401	0,015
	3,501	0,015
	3,601	0,015
	3,700	0,015
	3,800	0,015
	3,900	0,015
	4,000	0,015



#### **6 PARAMETRI GEOTECNICI**

# Schema stratigrafico e parametri geotecnici caratteristici

Si riportano di seguito i parametri geotecnici medi descritti all'interno della relazione geologica redatta dal Dott. Geol. Luca Sivori, derivanti dal rilevamento geologico di superficie integrato dall'analisi dei dati bibliografici disponibili per l'area e dalle indagini in sito svolte.

# Copertura detritica e terreno rimaneggiato:

Tali terreni sono presenti lungo il tracciato del nuovo scolmatore con potenze variabili tra 8.0 m circa in corrispondenza della vasca di sedimentazione fino a 4.0/5.0 m lungo via Femeiano in funzione delle modifiche antropiche apportate all'area.

Si tratta di una ghiaia subangolare, frammenti lapidei, sabbia in matrice argillosa, da scarsamente addensato a mediamente addensato. Stante la maggior percentuale di frazione grossolana si ritiene corretto ascrivere tali terreni ad un comportamento geotecnico tipico dei mezzi a grana grossa.

Peso in volume del terreno: 17 kN/m<sup>3</sup> ÷ 18 kN/m<sup>3</sup>

Peso in volume del terreno saturo: 19 kN/m<sup>3</sup> ÷ 20 kN/m<sup>3</sup>

Angolo di attrito efficace Φ: 31° ÷ 33°

Coesione drenata c': considerata nulla o trascurabile a favore di sicurezza

# Depositi alluvionali:

Tali terreni risultano in corrispondenza dell'area di parcheggio sotto via Fameiano. Sono rappresentati da ghiaia argillosa con sabbia e ghiaia con limo, con abbondanti ciottoli arrotondati eterometrici di natura calcareo marnosa. La percentule di frazione fine risulta estremamente variabile e comunque in percentuale limitata, generalmente inferiore al 20%. Il comportamento geotecnico è chiaramente tipico dei mezzi a grana grossa stante la natura del terreno.

Peso in volume del terreno: 15 kN/m<sup>3</sup> ÷ 16 kN/m<sup>3</sup>

Peso in volume del terreno saturo: 18 kN/m<sup>3</sup> ÷ 19 kN/m<sup>3</sup>

Angolo di attrito efficace Φ: 30° ÷ 32°



Coesione drenata c': considerata nulla o trascurabile a favore di sicurezza

#### Substrato roccioso:

Il basamento roccioso (Flysch di M. Antola), sulla base dei sondaggi geognostici eseguiti nell'intorno, si presenta in facies calcareo-marnosa con intercalazioni di marnoscisti ed argilliti grigio scure; le condizioni di conservazione dell'ammasso roccioso sono da considerarsi da scadenti, nei livelli più superficiali (cappellaccio di alterazione), a mediocri, con giunti di fratturazione pervasivi e caratterizzati da una discreta alterazione superficiale.

La Vasca di ripartizione prevista a progetto verrà realizzata all'interno dell'orizzonte geotecnico "Copertura detritica e terreno rimaneggiato".

A favore di sicurezza, per le verifiche geotecniche, l'angolo di attrito efficace  $\Phi$  è stato assunto pari a 30°.

Da cui:

 $\delta = 2/3 \, \Phi = 20^{\circ}$ 

K<sub>a</sub> = coefficiente di spinta attiva = 0.297

#### 7 ANALISI DEI CARICHI

Peso proprio elementi strutturali (pareti, platea di fondazione)

Peso specifico calcestruzzo armato

25,00[KN/m<sup>3</sup>]

Peso proprio del terrapieno retrostante al muro di confine esistente in pietra (porzione sud della nuova vasca)

Peso specifico del terreno = 18,00 KN/m<sup>3</sup> Altezza del terreno = 2 m Carico superficiale dovuto al terrapieno

36,00[KN/m<sup>2</sup>]



#### 8 VERIFICHE GEOTECNICHE DELLA STRUTTURA DELLA VASCA

Di seguito si riportano le verifiche allo Stato Limite Ultimo di tipo geotecnico come specificato all'interno del paragrafo 6.5.3.1.1 delle vigenti Norme Tecniche 2018, ovvero:

- Scorrimento sul piano di posa;
- Collasso per carico limite del complesso fondazione terreno;
- Ribaltamento;
- Stabilità globale del complesso opera di sostegno terreno.

•

La verifica di stabilità globale del complesso opera di sostegno – terreno è stata effettuata secondo l'Approccio 1 con la Combinazione 2 (A2 + M2 + R2).

Le rimanenti verifiche sono state effettuate secondo l'Approccio 2 con la Combinazione unica A1+M1+R3.

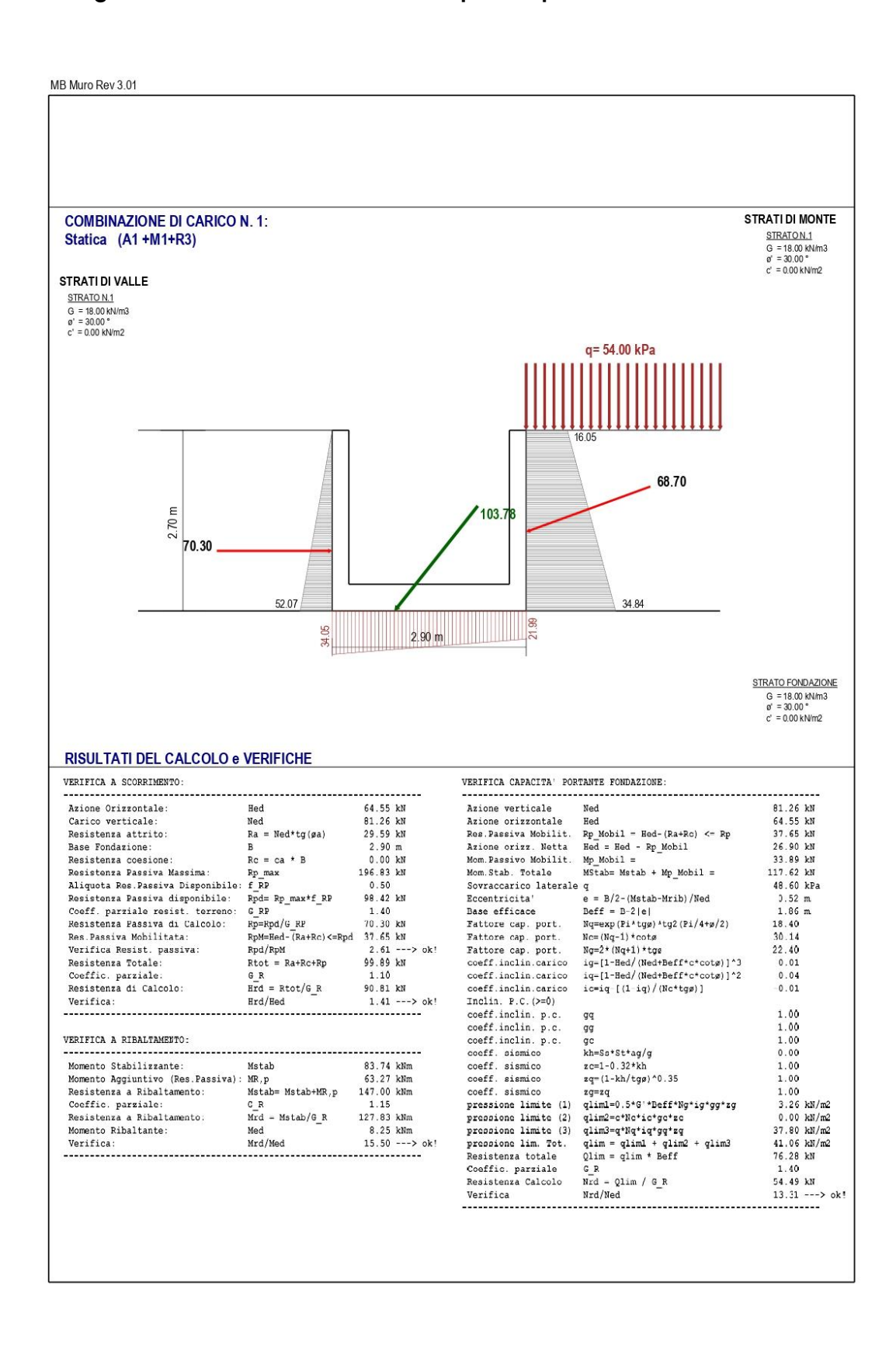
 ${f Tab.\,6.5.I}$  - Coefficienti parziali  $\gamma_{R}$  per le verifiche agli stati limite ultimi di muri di sostegno

Verifica	Coefficiente parziale (R3)
Capacità portante della fondazione	$\gamma_R = 1.4$
Scorrimento	$\gamma_R = 1.1$
Ribaltamento	$\gamma_R = 1.15$
Resistenza del terreno a valle	$\gamma_R = 1.4$

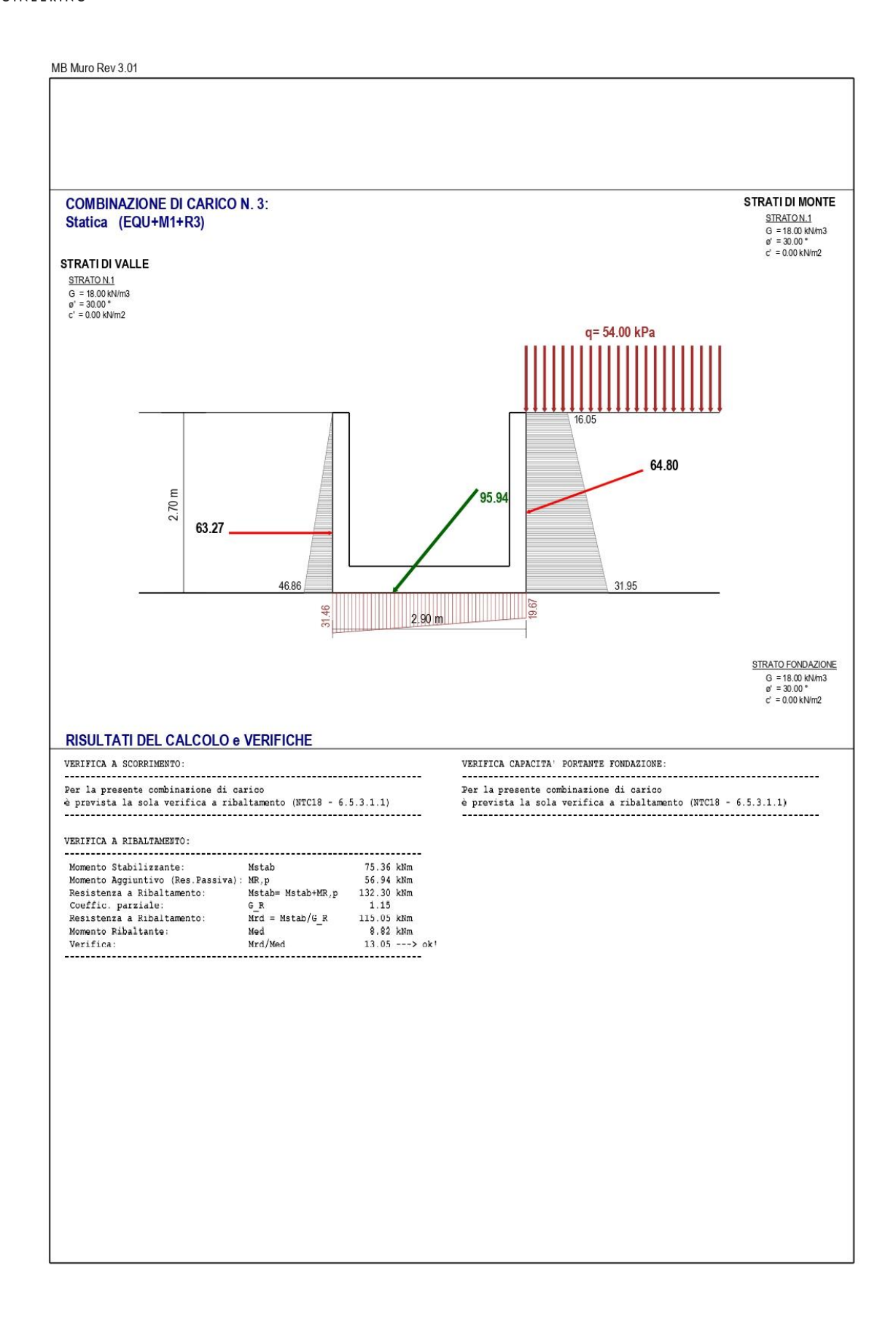
Tutte le verifiche sono state svolte con il software di calcolo MBMuro Rev. 3.01.



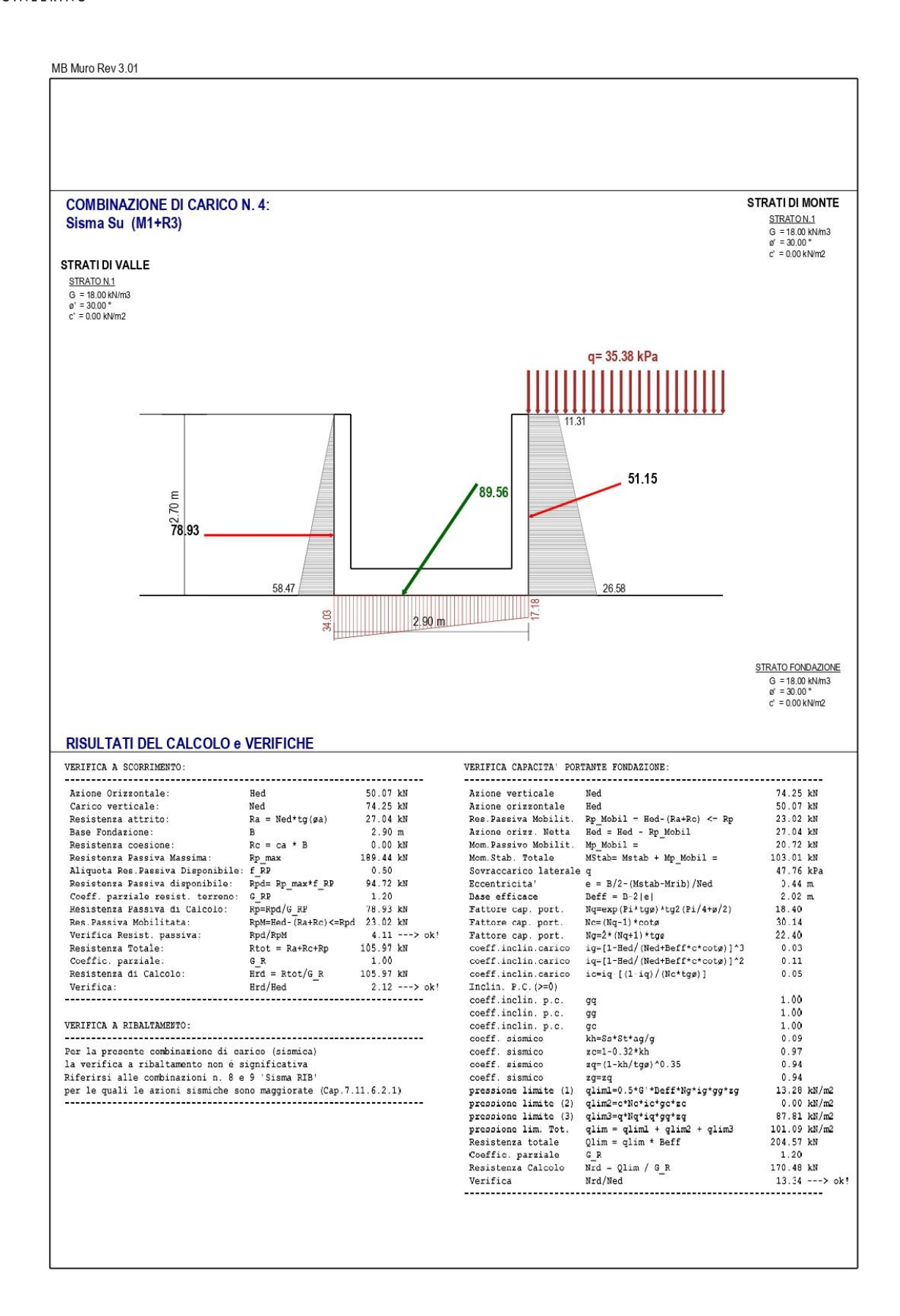
# Verifiche geotecniche a scorrimento, capacità portante e ribaltamento



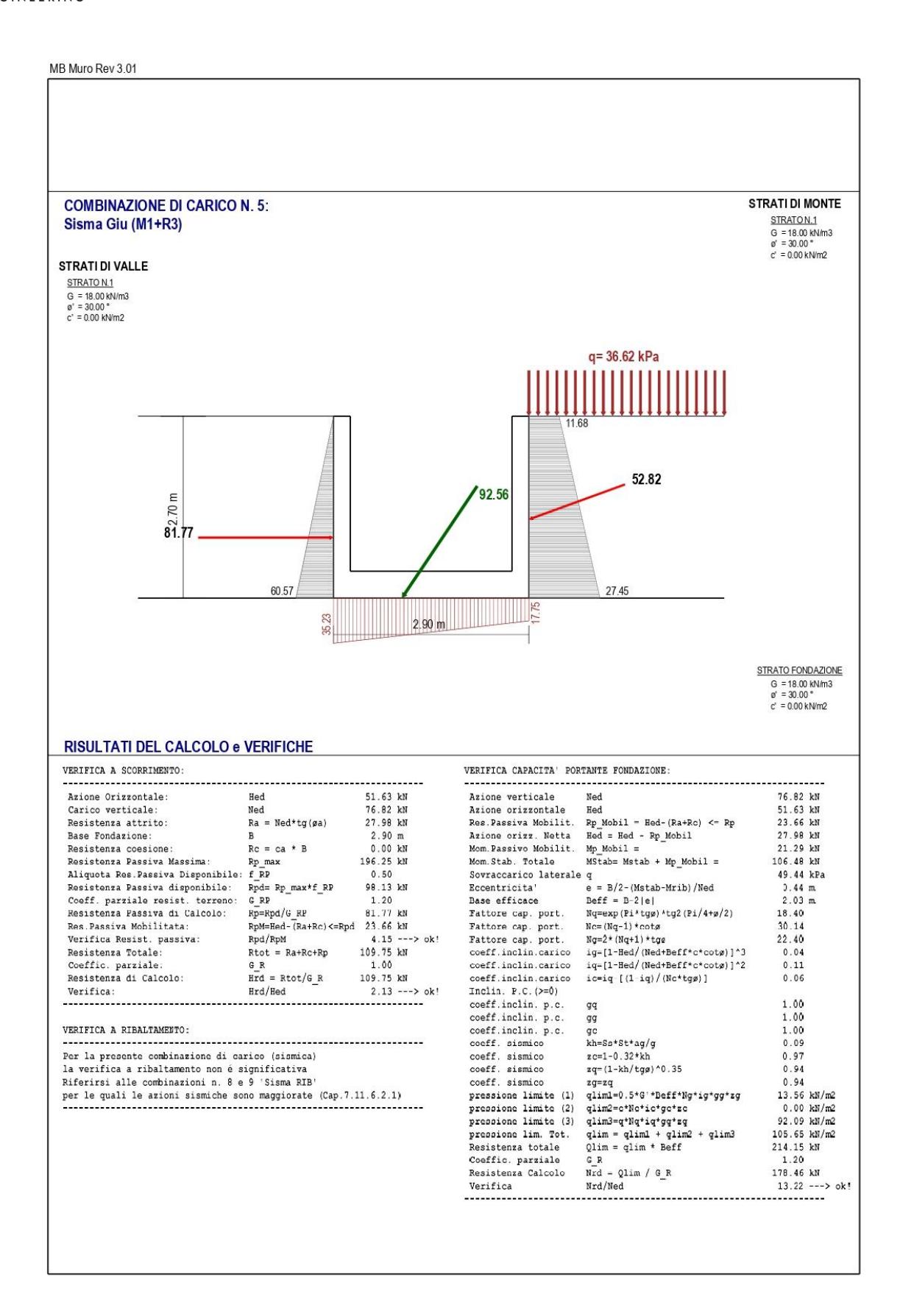




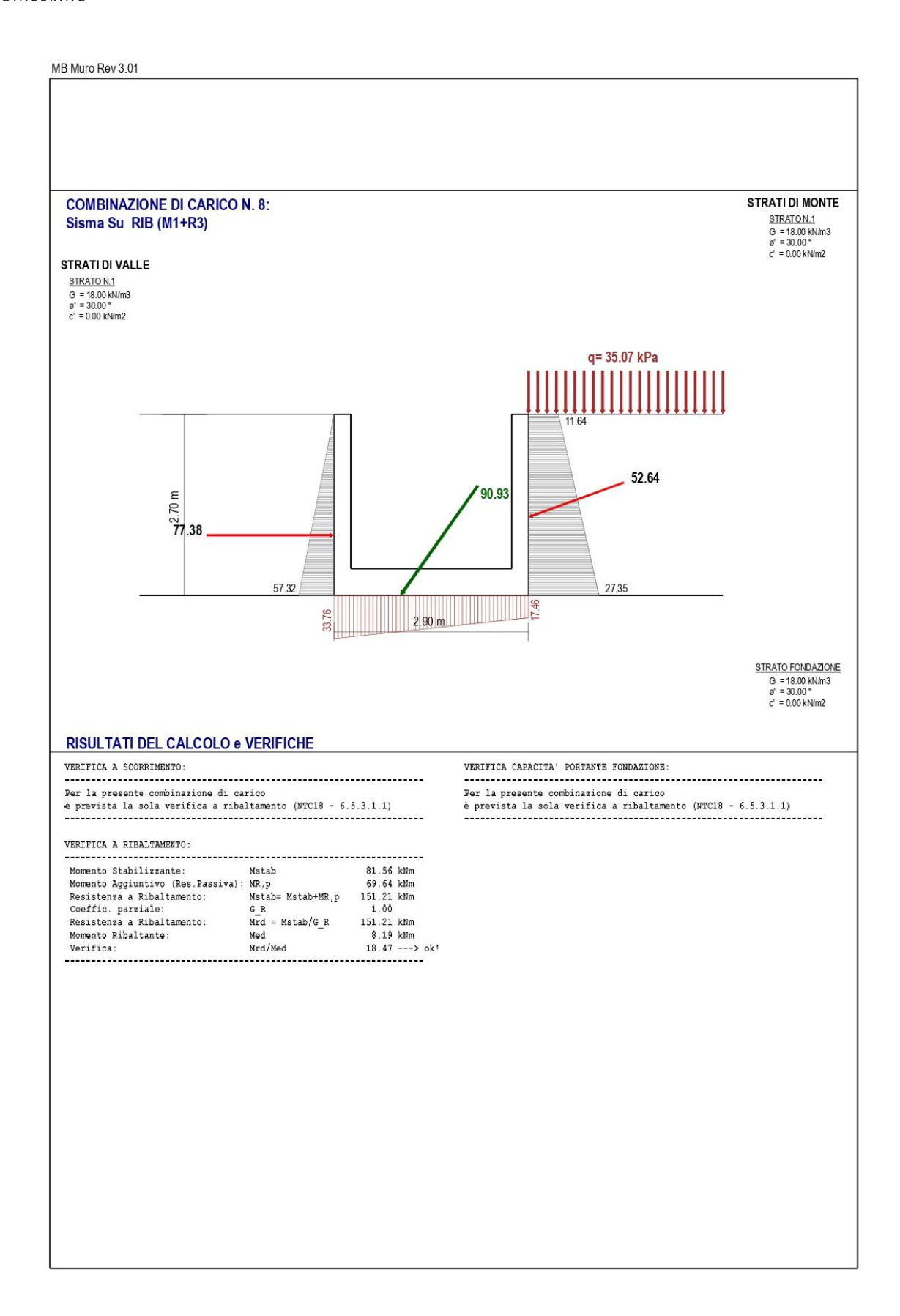




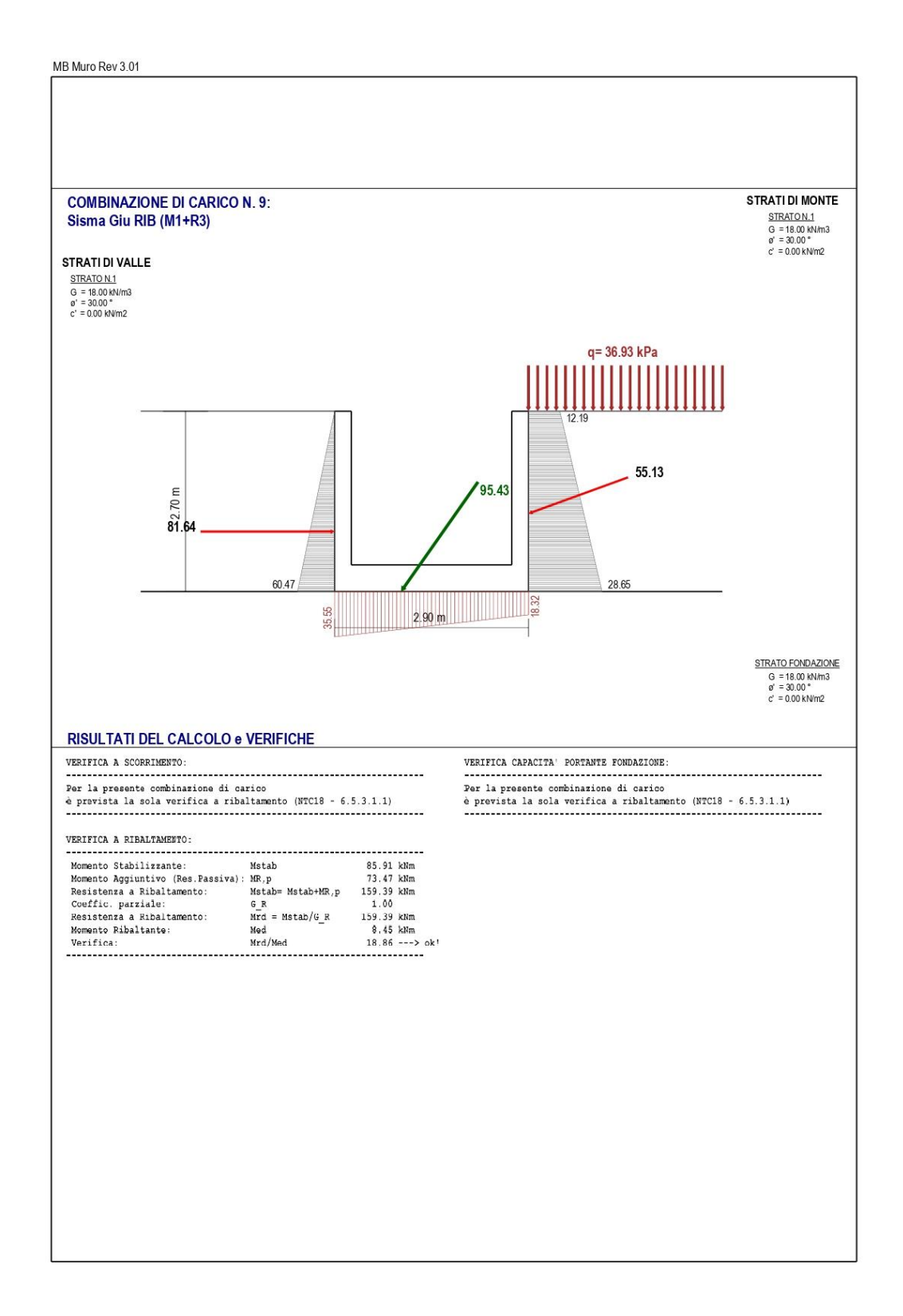








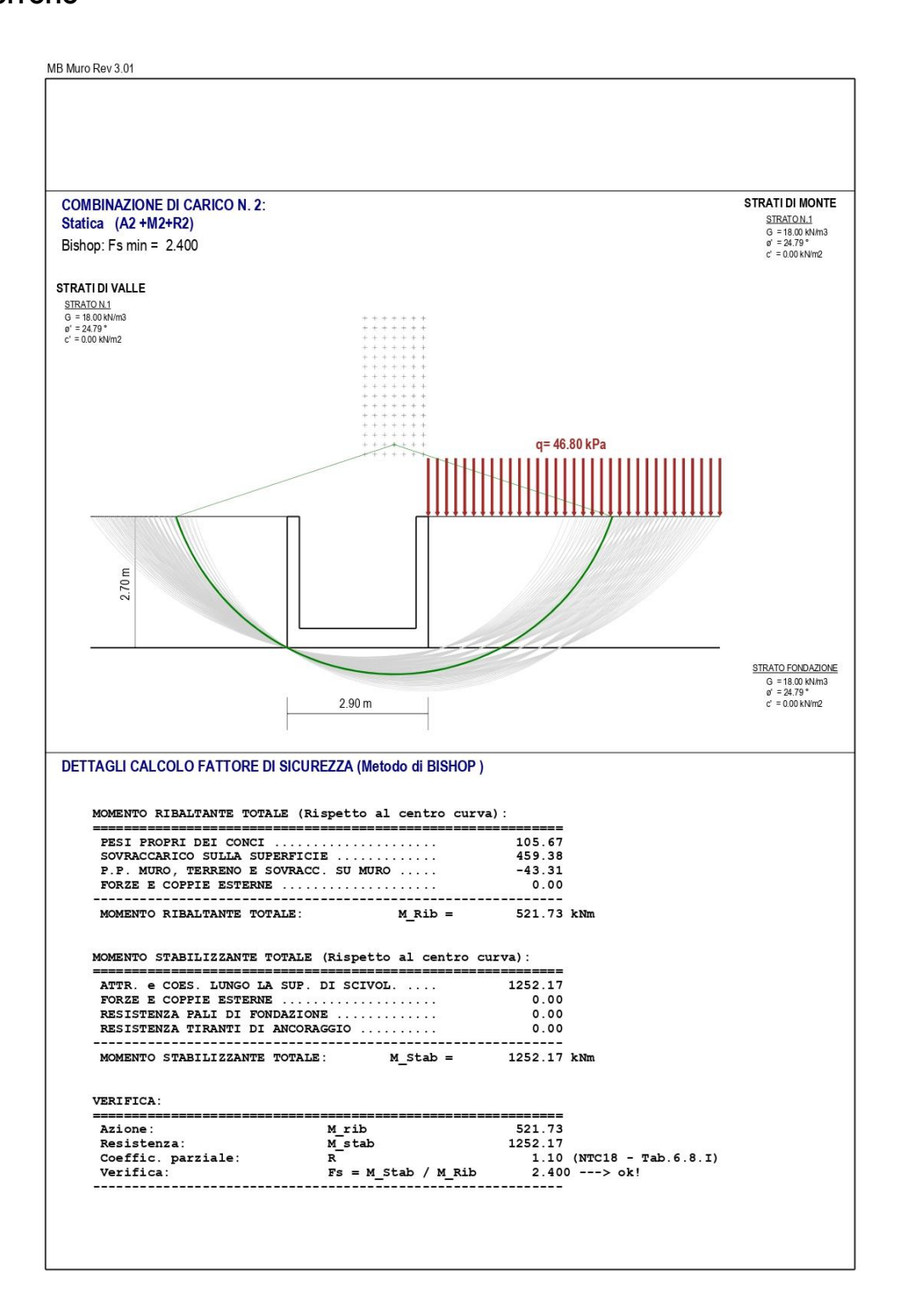




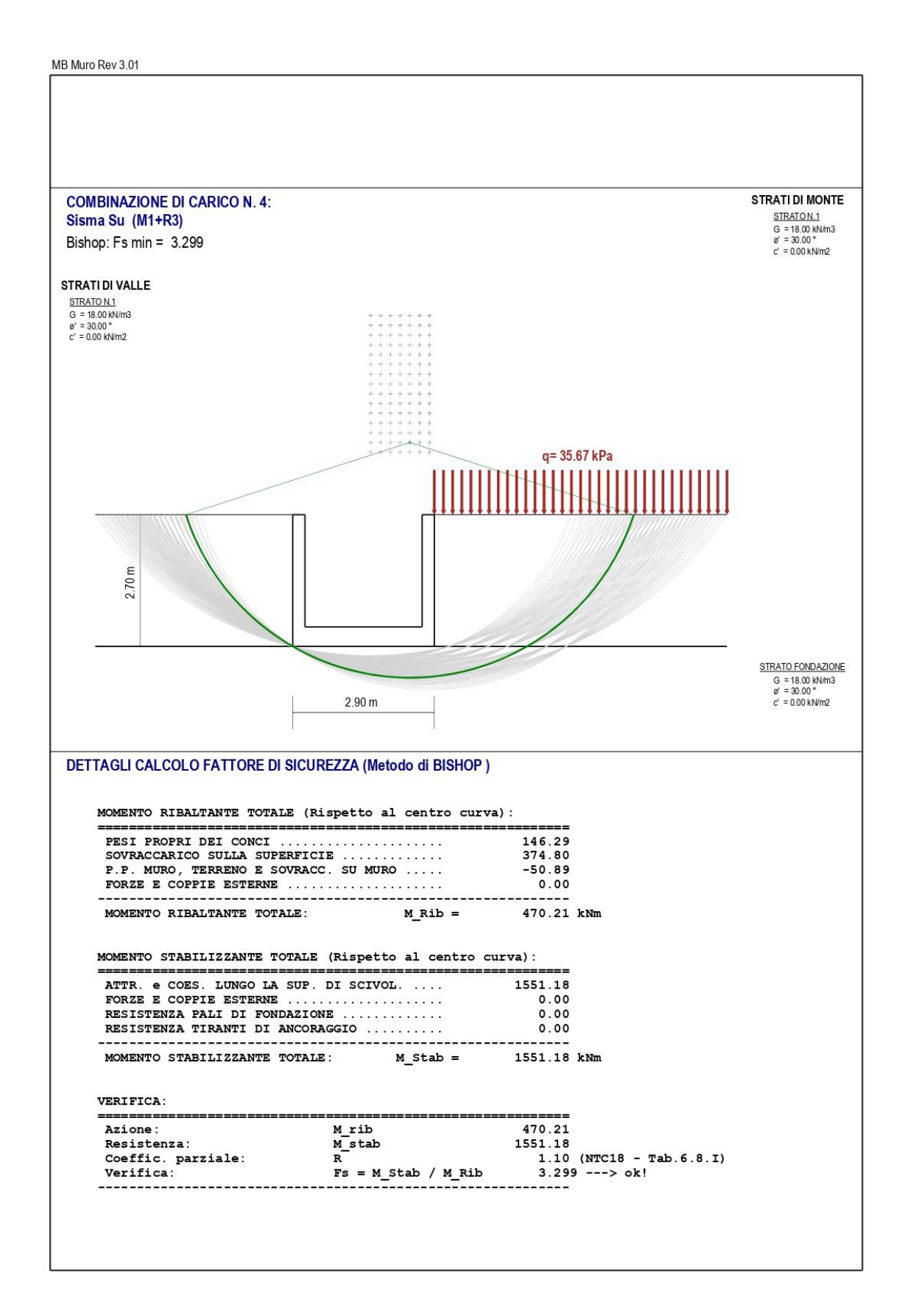
Come riscontrabile da quanto sopra riportato tutte le verifiche risultano soddisfatte.



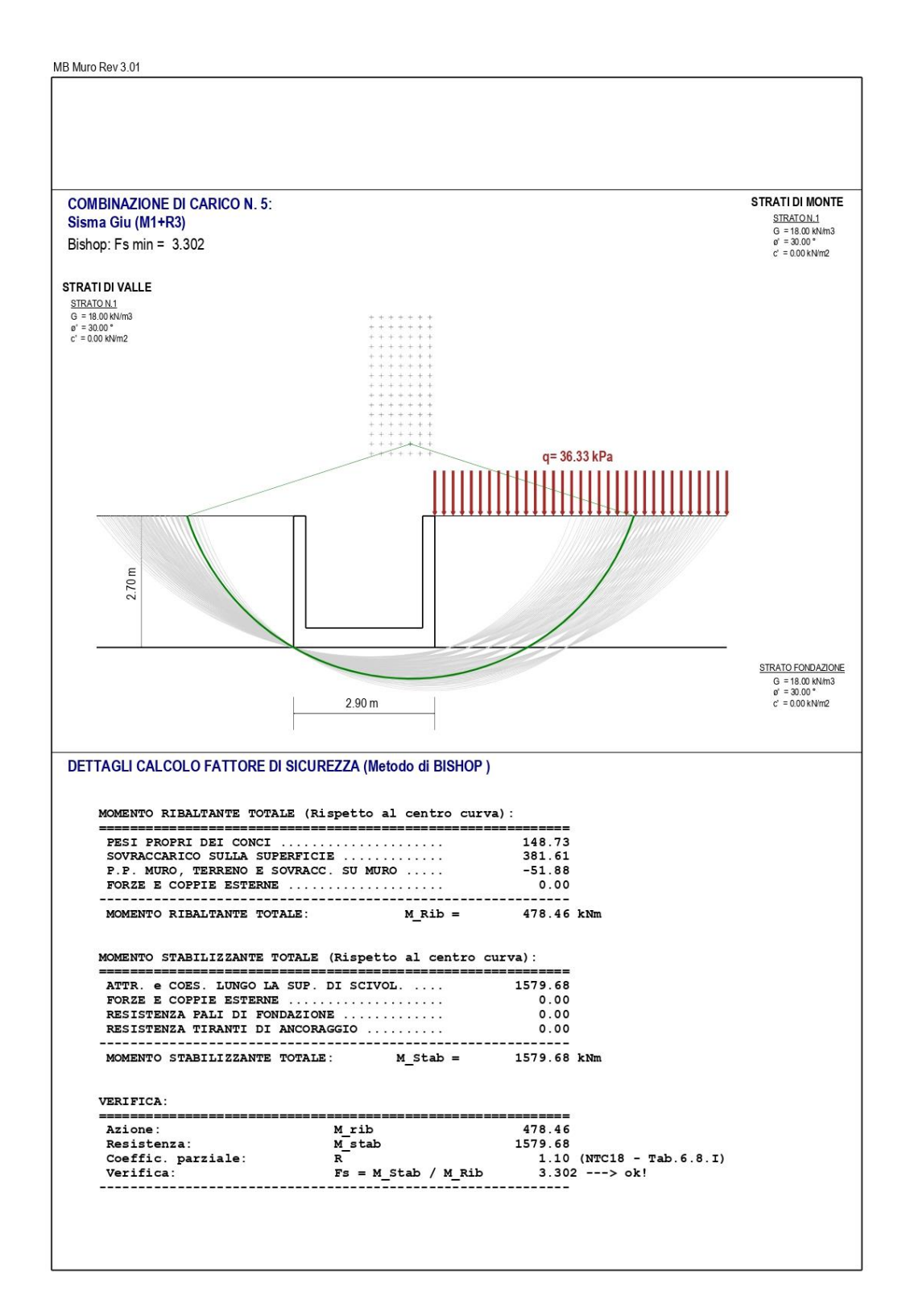
# Verifiche geotecniche a stabilità globale del complesso opera di sostegno terreno











Come riscontrabile da quanto sopra riportato le verifiche a stabilità risultano soddisfatte.



# 9 VERIFICHE GEOTECNICHE DELLA PARATIA IN MICROPALI PROVVISIONALE

Come descritto in precedenza all'interno delle premesse, preliminarmente alle fasi esecutive di scavo e realizzazione della nuova vasca in c.a., al fine di evitare cedimenti differenziali del terreno retrostante il muro di confine esistente in pietra verrà realizzata una paratia provvisionale in micropali.

Diametro micropali = 160 mm

Interasse micropali = 40 cm

Armatura micropali: profili tubolari Φ114.3 / 10 mm in acciaio S355

Carico superficiale dovuto al terrapieno retrostante il muro di confine = 36 KN/m<sup>2</sup> Si definisce di seguito l'azione orizzontale dovuta alla spinta del terreno.

$$\sigma'$$
 (h=0) = (q +  $\gamma$ h) x K<sub>a</sub> x cos $\delta$  = (36 KN/m<sup>2</sup> + 0) x 0.297 x cos 20° = 10.05 KN/m<sup>2</sup>

$$\sigma$$
" (h=3 m) = (q + γh) x K<sub>a</sub> x cos $\delta$  = [36 KN/m² + (18 KN/m³ x 3 m)] x 0.297 x cos 20° = 25.1 KN/m²

Nella condizione di carico più gravosa, ovvero quella allo Stato Limite Ultimo, si ottiene:

$$\sigma'$$
 (h=0) = 10.05 KN/m<sup>2</sup> x 1.5 = 15.1 KN/m<sup>2</sup>

$$\sigma$$
" (h=3 m) = 25.1 KN/m<sup>2</sup> x 1.5 = 37.7 KN/m<sup>2</sup>

Infine, considerando l'interasse dei micropali pari a 40 cm, si avrà il seguente carico agente sul singolo micropalo:

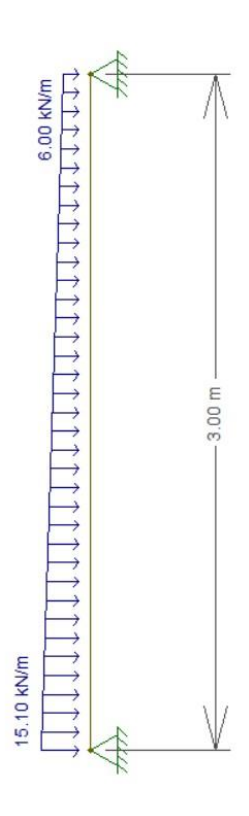
$$\sigma'$$
 (h=0) = 15.1 KN/m<sup>2</sup> x 0.4 m = 6 KN/m

$$\sigma$$
" (h=3 m) = 37.7 KN/m<sup>2</sup> x 0.4 m = 15.1 KN/m

Durante le fasi esecutive di scavo e realizzazione della nuova vasca, il cordolo testapali della paratia verrà puntellato al fine di bloccarne gli spostamenti orizzontali.

La paratia sarà pertanto soggetta al seguente schema statico di carico.

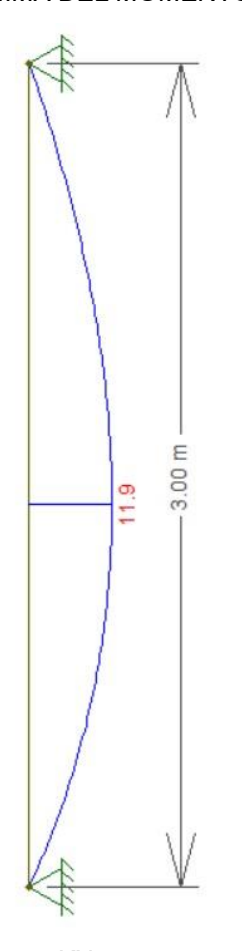




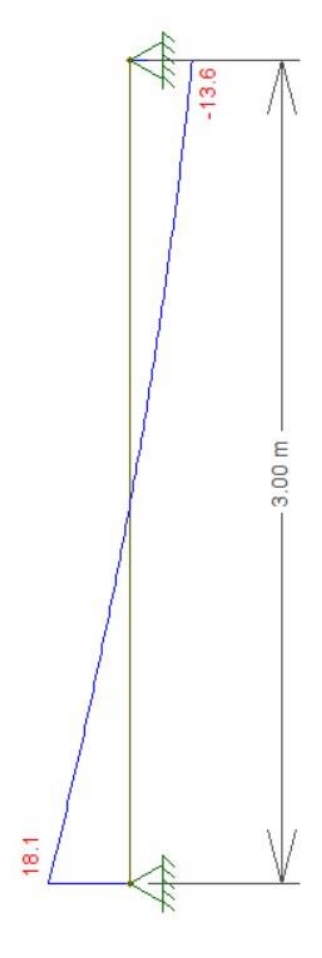


Si riportano di seguito i diagrammi delle sollecitazioni agenti sul singolo micropalo.

#### DIAGRAMMA DEL MOMENTO



**DIAGRAMMA DEL TAGLIO** 



 $V_{\text{Ed,max}} = 18.1 \text{ KN}$ 

 $M_{\text{Ed, max}} = 11.9 \text{ KNm}$ 

agente alla base della paratia agente in mezzeria alla paratia

Si riportano di seguito le verifiche dei micropali considerando un'armatura interna composta da profili tubolari  $\Phi$  114.3 / 10 mm in acciaio S355.

#### Verifica a flessione

$$M_{Rd} = W x f_{yk} / \gamma_{M0} = 78.68 cm^3 x 355 N/mm^2 / 1.05 = 26.6 KNm$$

 $M_{Rd} = 26.6 \text{ KNm} > M_{Ed} = 11.9 \text{ KNm}$  pertanto il micropalo risulta verificato a flessione

# Verifica a taglio

$$V_{\text{Rd}} = A_{\text{v}} \, x \, f_{\text{yk}} \, / \, \sqrt{3} \, x \, \gamma_{\text{M0}}$$



$$A_v = 2 \text{ x A} / \pi = 2 \text{ x } 32.77 \text{ cm}^2 / \pi = 20.86 \text{ cm}^2$$

$$V_{Rd} = 20.86 \text{ cm}^2 \text{ x } 355 \text{ N/mm}^2 / \sqrt{3} \text{ x } 1.05 = 407.2 \text{ KN} > V_{Ed} = 18.1 \text{ KN}$$

Pertanto il micropalo risulta verificato a taglio.

#### Verifica a deformazione

Nella condizione di carico allo Stato Limite di Esercizio il carico agente sul singolo micropalo risulta pari a:

$$\sigma'$$
 (h=0) = 10.05 KN/m<sup>2</sup> x 0.4 m = 4 KN/m

$$\sigma$$
" (h=3 m) = 25.1 KN/m<sup>2</sup> x 0.4 m = 10.1 KN/m

$$f = [5/384 \times q' \times l^4 / E \times J] + [0.00652 \times q'' \times l^4 / E \times J]$$

Con:

$$q' = \sigma' = 4 \text{ KN/m}$$

$$q"=\sigma"$$
 -  $\,\sigma'=6.1~KN/m$ 

 $f = [5/384 \times 4 \text{ KN/m} \times (300 \text{ cm})^4 / 210000 \text{ N/mm}^2 \times 449.66 \text{ cm}^4] + [0.00652 \times 6.1 \text{ KN/m} \times (300 \text{ cm})^4 / 210000 \text{N/mm}^2 \times 449.66 \text{ cm}^4]$ 

$$f = 0.45 \text{ cm} + 0.34 \text{ cm} = 0.8 \text{ cm}$$
  $f = 1/375 \text{ della luce libera di inflessione}$ 

Essendo la freccia inferiore ai limiti imposti dalla normativa tecnica vigente, il micropalo risulta verificato a deformazione.